

МОСКОВСКИЙ ГОСУДАРСТВЕННЫЙ
ОРДЕНА ЛЕНИНА, ОРДЕНА ОКТЯБРЬСКОЙ РЕВОЛЮЦИИ,
ОРДЕНА КРАСНОГО ТРУДОВОГО ЗНАМЕНИ
УНИВЕРСИТЕТ ИМЕНИ М. В. ЛОМОНОСОВА
ФАКУЛЬТЕТ ВЫЧИСЛИТЕЛЬНОЙ МАТЕМАТИКИ И КИБЕРНЕТИКИ
КАФЕДРА СИСТЕМНОГО АНАЛИЗА



Отчёт по практикуму на ЭВМ

«Реализация преобразования Фурье средствами Matlab»

Студент 315 группы
А. А. Самойлов

Руководитель практикума
к.ф.-м.н., доцент П. А. Точилин

1 Постановка задачи

Требуется реализовать функцию в среде Matlab, которая, используя быстрое преобразование Фурье, будет считать аппроксимацию преобразования Фурье $F(\lambda)$ для функций:

$$1) f_1(t) = \frac{2-t}{1+5t^2}$$

$$2) f_2(t) = e^{-t^2} \sinh t$$

$$3) f_3(t) = e^{|t| \frac{1+2t}{1+t^4}}$$

$$4) f_4(t) = \frac{1-\cos t^2}{t^3}$$

Должна быть реализована возможность выбора шага дискретизации, входного и выходного окон. Для первых двух функций требуется посчитать преобразование Фурье в явном виде и сравнить графики полученных функций с графиками их аппроксимаций.

2 Теоретические сведения о задаче

$f(t)$ - функция, данная по условию.

$[a, b]$ - окно функции $f(t)$.

Оконная функция:

$$h_{[a,b]}(t) = \begin{cases} 1, & t \in [a, b] \\ 0, & t \notin [a, b] \end{cases}$$

$step$ - шаг дискретизации. N - число точек множества, на котором строится функция.

3 Ход решения

1) Построим равномерное разбиение отрезка $[a, b]$ по N точкам

2) Пересчитаем шаг дискретизации так, чтобы в $[a, b]$ вошел $N - 1$ подотрезок длины $\Delta t = \frac{b-a}{N}$, где $N = \text{round}(\frac{b-a}{step})$. Δt - новый шаг дискретизации.

3) Обозначим $\tilde{f}(t) = f(t)h_{[a,b]}(t)$ и продолжим ее по периоду $b - a$. Зададим множество, на котором будет строиться преобразование Фурье:

$$\{X_n\} = \{\tilde{f}(\Delta t n); n = \overline{0, N-1}\}$$

4) Применим к этому множеству БПФ, реализуемое в Matlab функцией `fft()` и получим множество комплексных отсчетов:

$$\{F_n\} = \{\Delta t \cdot \sum_{k=1}^n \tilde{f}(\Delta t n) e^{-\frac{ikn}{N}}; n = \overline{0, N-1}\}$$

Частота дискретизации в частотной области преобразования Фурье находится по формуле:

$$\Delta f = \frac{2\pi}{b-a}$$

5) Продлеваем функцию по периоду, разделяем ее вещественную и мнимую части и строим их графики.

4 Аналитическое вычисление преобразования Фурье

1) $f(t) = \frac{2-t}{1+5t^2}$

$$F(\lambda) = \int_{-\infty}^{+\infty} \frac{2-t}{1+5t^2} e^{-i\lambda t} dt = \int_{-\infty}^{+\infty} \frac{2-t}{(1+i\sqrt{5}t)(1-i\sqrt{5}t)} e^{-i\lambda t} dt$$

$t_1 = -\frac{1}{i\sqrt{5}}, t_2 = \frac{1}{i\sqrt{5}}$ - полюса I порядка.

Будем искать значение интеграла через вычеты.

$$\text{res}_{t=t_1} = \lim_{t \rightarrow t_1} (t + \frac{1}{i\sqrt{5}}) \frac{2-t}{(1+i\sqrt{5}t)(1-i\sqrt{5}t)} e^{-i\lambda t} = \lim_{t \rightarrow t_1} \frac{2-t}{i\sqrt{5}(1-i\sqrt{5}t)} e^{-i\lambda t} = \frac{2+\frac{1}{i\sqrt{5}}}{i2\sqrt{5}} e^{\frac{\lambda}{\sqrt{5}}}$$

$$\text{res}_{t=t_2} = \lim_{t \rightarrow t_2} (t - \frac{1}{i\sqrt{5}}) \frac{2-t}{(1+i\sqrt{5}t)(1-i\sqrt{5}t)} e^{-i\lambda t} = \lim_{t \rightarrow t_2} \frac{t-2}{i\sqrt{5}(1+i\sqrt{5}t)} e^{-i\lambda t} = \frac{\frac{1}{i\sqrt{5}}-2}{i2\sqrt{5}} e^{\frac{-\lambda}{\sqrt{5}}}$$

$$F(\lambda) = 2\pi i \begin{cases} \text{res}_{t=t_1}, & \lambda < 0 \\ \text{res}_{t=t_2}, & \lambda > 0 \end{cases} = \begin{cases} \frac{\pi e^{-\frac{\lambda}{\sqrt{5}}}}{\sqrt{5}} (\frac{1}{i\sqrt{5}} - 2), & \lambda < 0 \\ \frac{\pi e^{\frac{\lambda}{\sqrt{5}}}}{\sqrt{5}} (\frac{1}{i\sqrt{5}} + 2), & \lambda > 0 \end{cases} = \begin{cases} \frac{\pi e^{-\frac{\lambda}{\sqrt{5}}}}{5\sqrt{5}} (10 + i\sqrt{5}), & \lambda < 0 \\ \frac{\pi e^{\frac{\lambda}{\sqrt{5}}}}{5\sqrt{5}} (10 - i\sqrt{5}), & \lambda > 0 \end{cases}$$

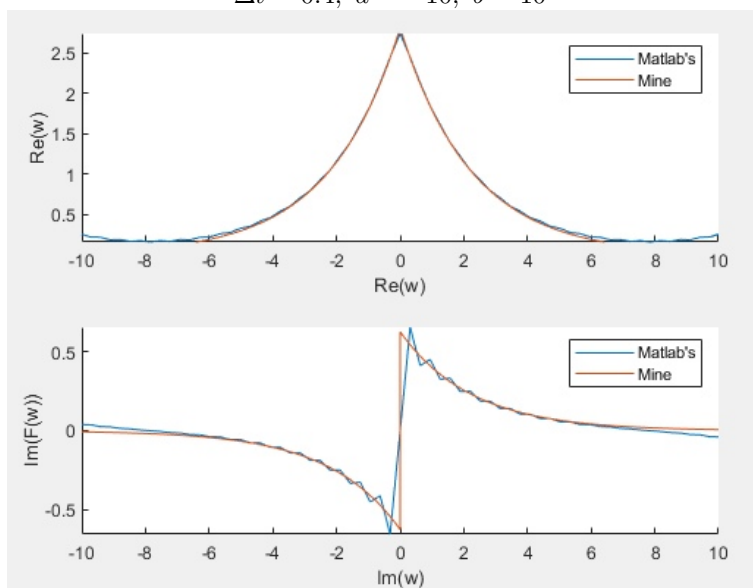
2) $f(t) = e^{-t^2} \sinh t$

$$\begin{aligned} F(\lambda) &= \int_{-\infty}^{+\infty} e^{-t^2} \left(\frac{e^t - e^{-t}}{2} \right) e^{-i\lambda t} dt = \frac{1}{2} \int_{-\infty}^{+\infty} e^{-t^2+t} e^{-i\lambda t} dt - \frac{1}{2} \int_{-\infty}^{+\infty} e^{-t^2-t} e^{-i\lambda t} dt = \\ &= \{u = t - \frac{1}{2}; v = t + \frac{1}{2}\} = \frac{e^{\frac{1}{4}}}{2} \int_{-\infty}^{+\infty} e^{-u^2} e^{-i\lambda(u+\frac{1}{2})} du - \frac{e^{\frac{1}{4}}}{2} \int_{-\infty}^{+\infty} e^{-v^2} e^{-i\lambda(v-\frac{1}{2})} dv = \\ &= \frac{e^{\frac{1}{4}-\frac{i\lambda}{2}}}{2} \int_{-\infty}^{+\infty} e^{-u^2} e^{-i\lambda u} du - \frac{e^{\frac{1}{4}+\frac{i\lambda}{2}}}{2} \int_{-\infty}^{+\infty} e^{-v^2} e^{-i\lambda v} dv = \\ &= \{g(t) = e^{-t^2} \Rightarrow G(\lambda) = \frac{1}{\sqrt{2}} e^{-\frac{\lambda^2}{4}}\} = \frac{\sqrt{\pi}}{2} (e^{-\frac{\lambda^2}{4}} e^{\frac{1}{4}} (e^{-\frac{i\lambda}{2}} - e^{\frac{i\lambda}{2}})) = \\ &= \sqrt{\pi} e^{\frac{1}{4}+\frac{\lambda^2}{4}} (\cos(-\frac{\lambda}{2}) + i \sin(-\frac{\lambda}{2}) - \cos(\frac{\lambda}{2}) - i \sin(\frac{\lambda}{2})) = -i\sqrt{\pi} e^{\frac{1}{4}+\frac{\lambda^2}{4}} \sin \frac{\lambda}{2} \end{aligned}$$

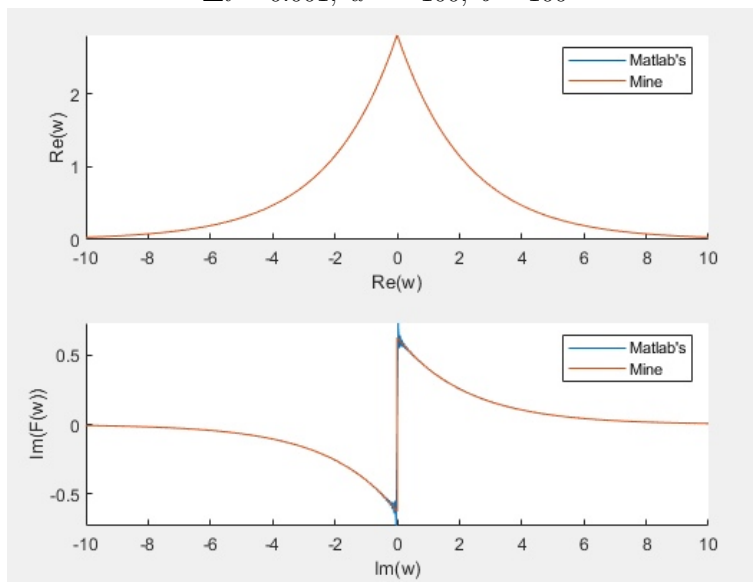
5 Построение Фурье-образов

5.1 $f_1(t) = \frac{2-t}{1+5t^2}$

$\Delta t = 0.4, a = -10, b = 10$

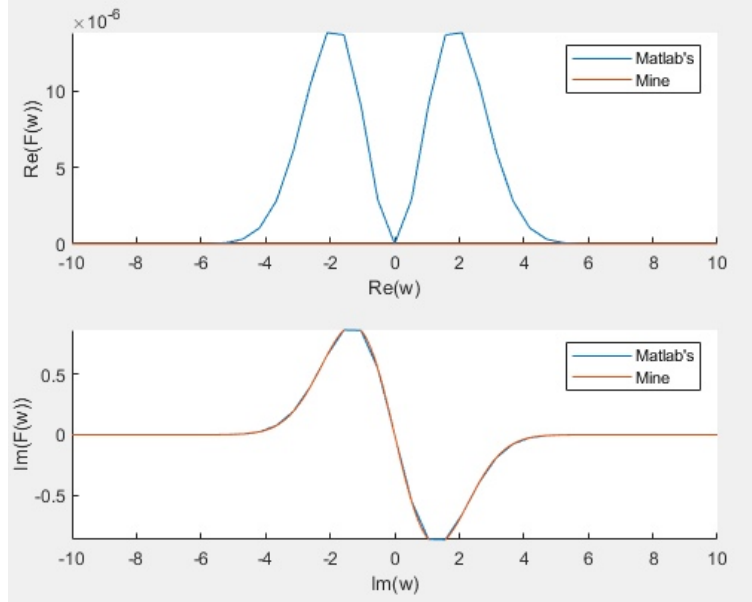


$\Delta t = 0.001, a = -100, b = 100$

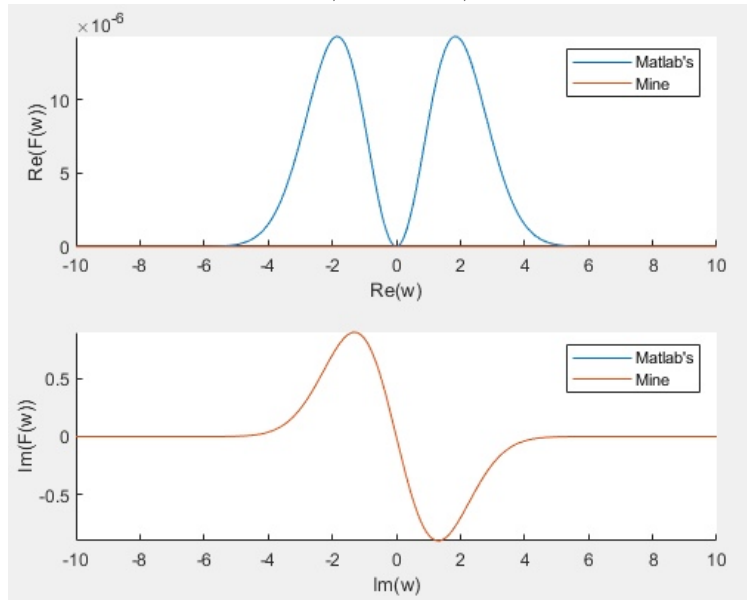


5.2 $f_2(t) = e^{-t^2} \sinh t$

$\Delta t = 0.4, a = -6, b = 6$

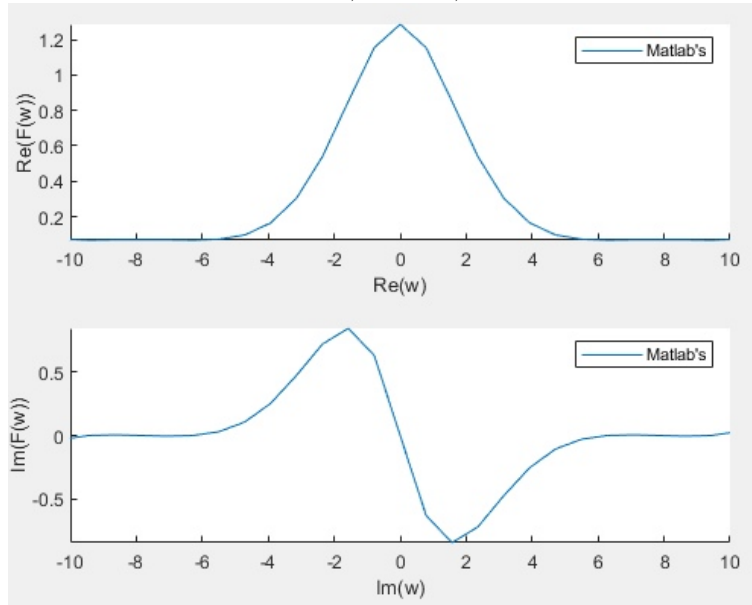


$\Delta t = 0.001, a = -100, b = 100$

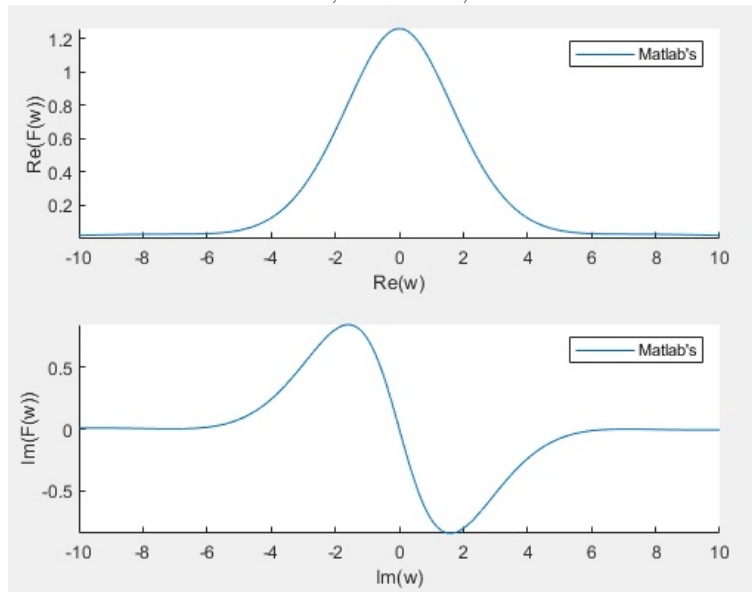


5.3 $f_3(t) = e^{|t| \frac{1+2t}{1+t^4}}$

$\Delta t = 0.4, a = -4, b = 4$

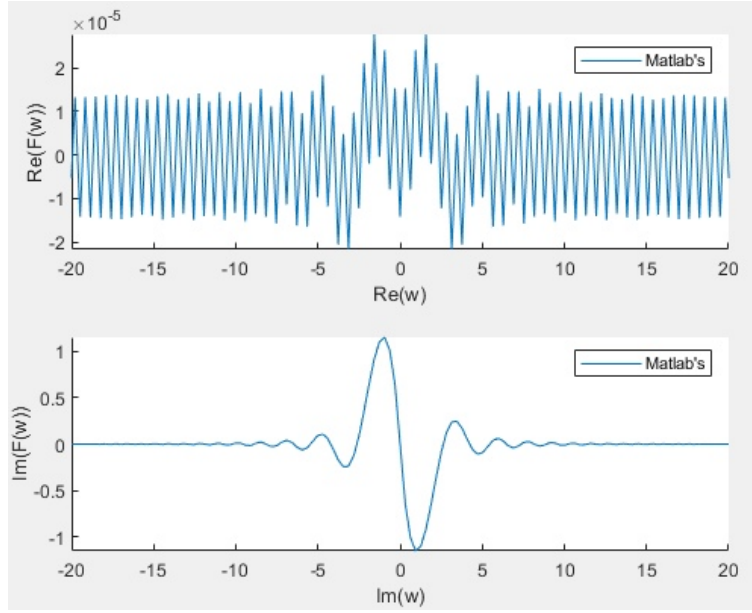


$\Delta t = 0.001, a = -100, b = 100$

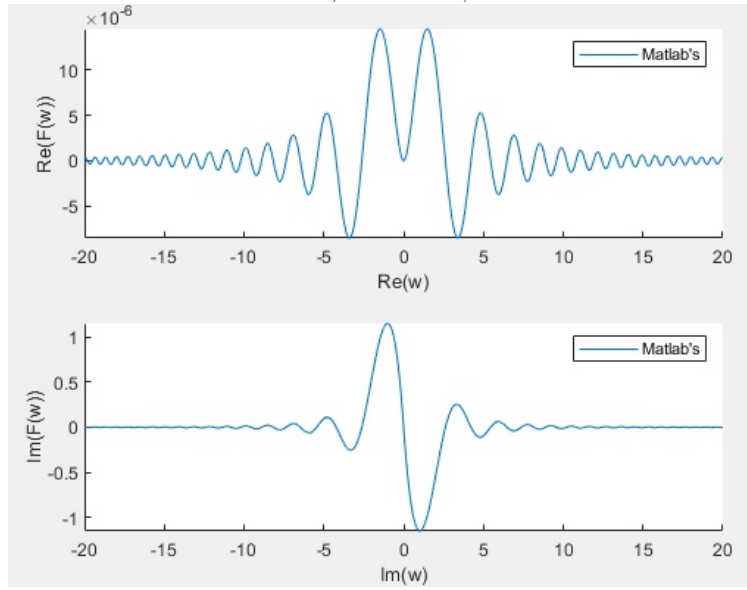


5.4 $f_4(t) = \frac{1 - \cos t^2}{t^3}$

$\Delta t = 0.1, a = -10, b = 10$



$\Delta t = 0.001, a = -100, b = 100$

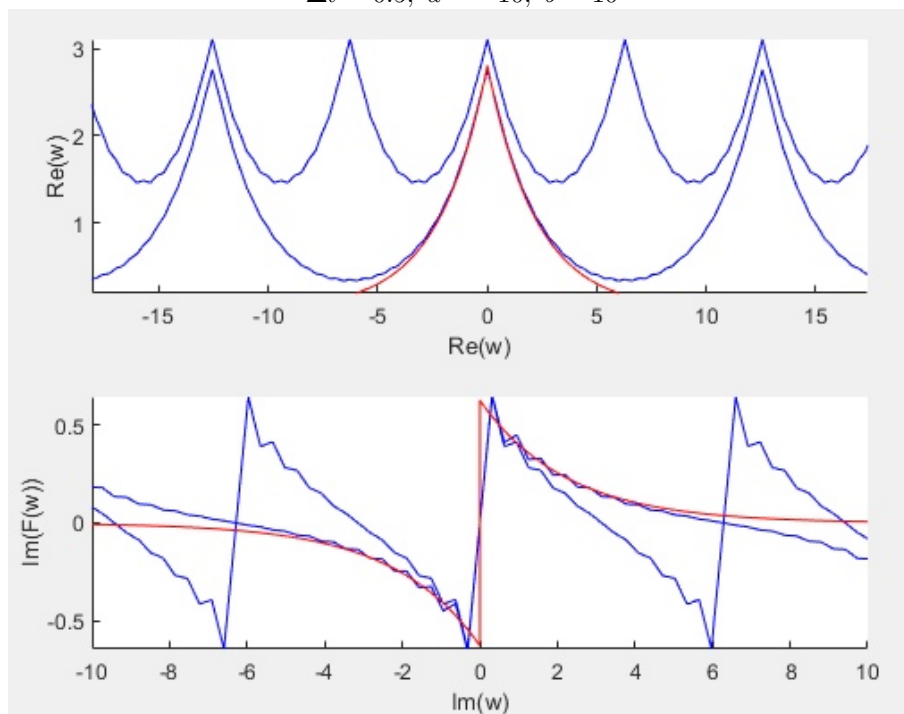


6 Эффект наложения спектра и его устранение

Для иллюстрации данного эффекта выберем 1 функцию, и сравним кривую аналитического решения (синяя) с двумя кривыми аппроксимаций (красные).

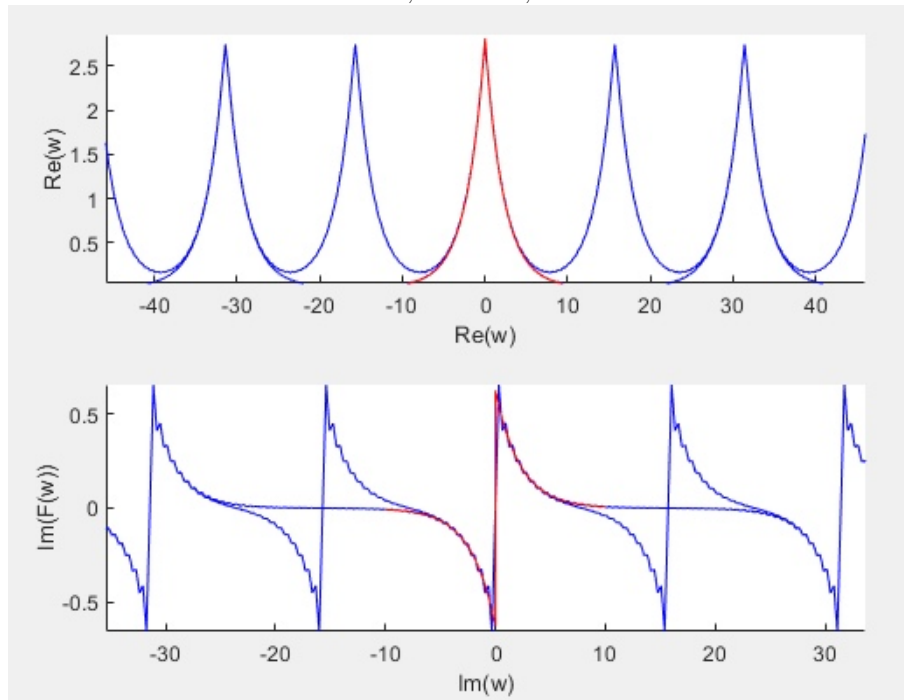
6.1 Сильное наложение, вызванное большим шагом дискретизации:

$$\Delta t = 0.5, \quad a = -10, \quad b = 10$$



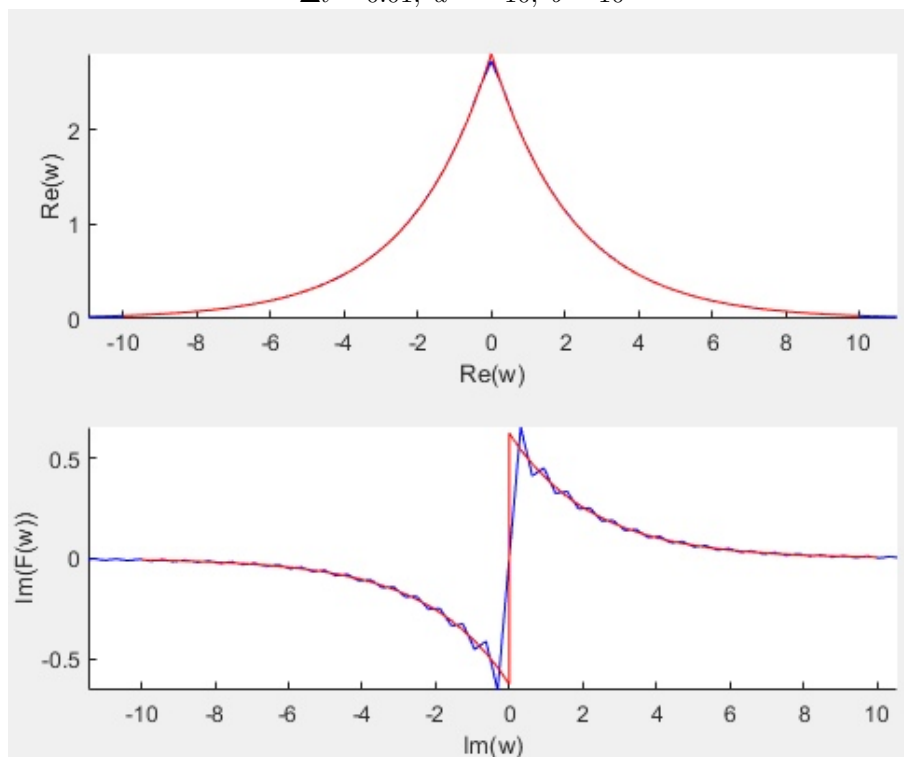
6.2 Улучшение ситуации при уменьшении шага дискретизации:

$$\Delta t = 0.2, \quad a = -10, \quad b = 10$$



6.3 Исчезновение эффекта наложения при последующем уменьшении шага дискретизации:

$$\Delta t = 0.01, \quad a = -10, \quad b = 10$$

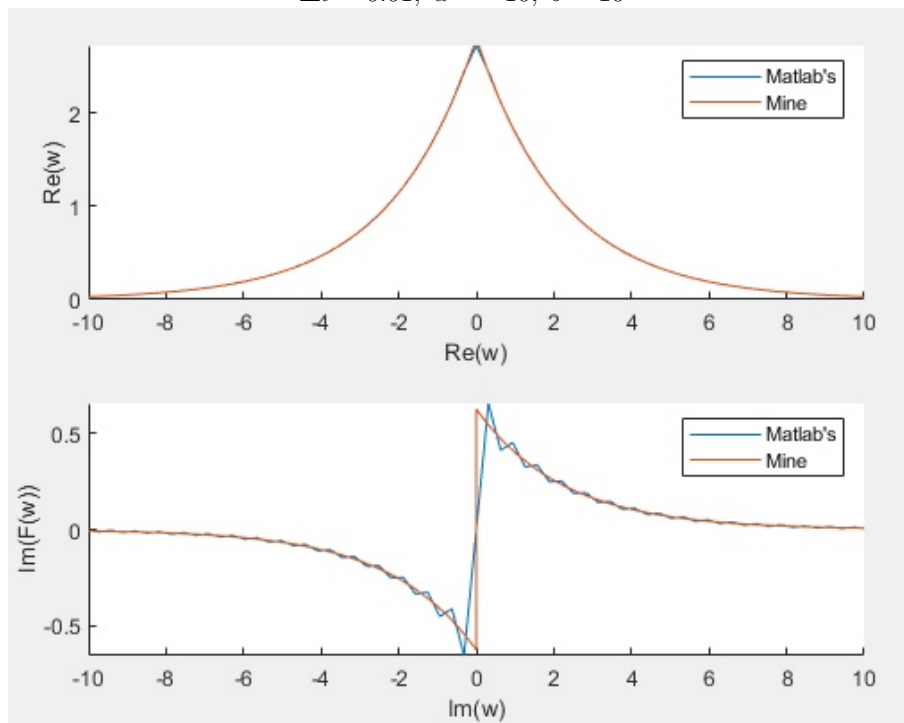


7 Рябь и ее минимизация:

Для иллюстрации ряби выберем график первой функции, так как у нее есть рябь в окрестности нуля в силу наличия в нуле разрыва II рода.

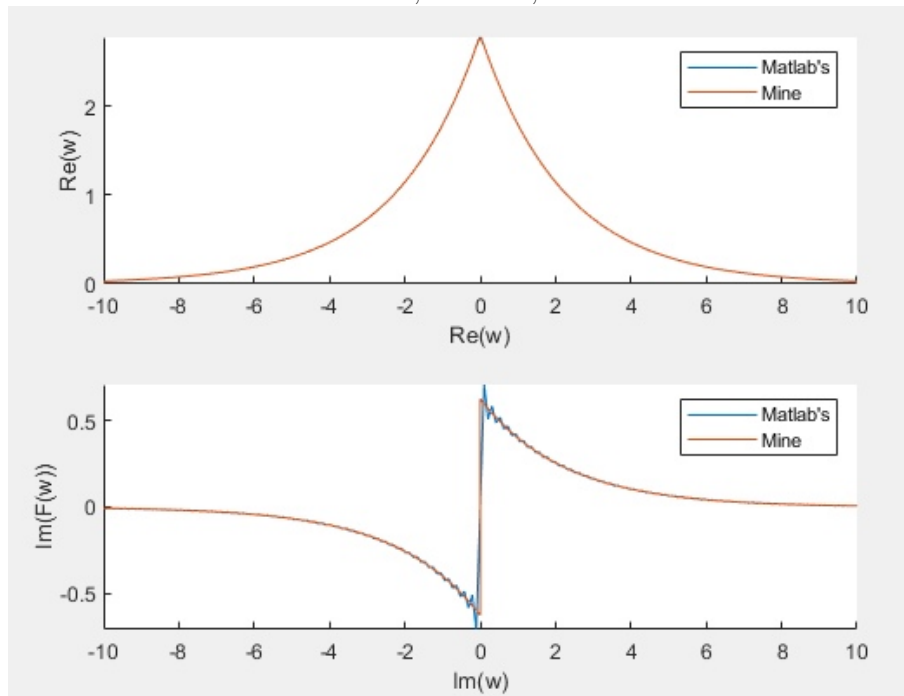
7.1 Сильная рябь при малом окне функции:

$$\Delta t = 0.01, \quad a = -10, \quad b = 10$$



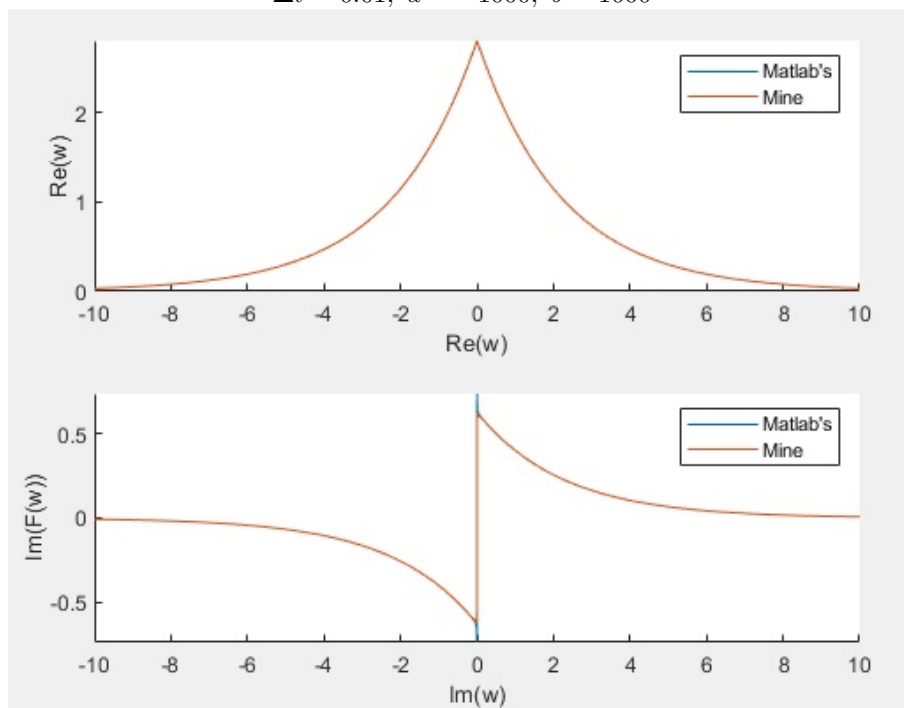
7.2 Уменьшение ряби при увеличении окна функции:

$$\Delta t = 0.01, \quad a = -30, \quad b = 30$$



7.3 Последующее уменьшение ряби при дальнейшем увеличении окна функции:

$$\Delta t = 0.01, \quad a = -1000, \quad b = 1000$$



К сожалению, в точках разрыва II рода полностью устранить рябь не получается, но можно свести ее визуальное присутствие к ε -окрестности точки разрыва для любого $\varepsilon > 0$ путем увеличения окна функции.